

放射線のマウス肝ミトコンドリアへの影響

(第 1 報)

山口大学医学部放射線医学教室（指導 桜井孝教授）

川崎祥二 桜井 孝

（昭和43年6月27日受付）

Effects of X-Irradiation on Mouse Liver Mitochondria (Part I)

Shoji Kawasaki and Ko Sakurai

Department of Radiology, Yamaguchi University, Medical School, Ube, Japan

(Director; Prof. Dr. Ko Sakurai)

Oxidative phosphorylation, adenosinetriphosphatase (ATPase) activity, protein content, and ferrous ion induced lipid peroxide formation of mouse liver mitochondria were observed after the whole body X-irradiation (400 rads). In addition, ATPase activity during the swelling and formation of lipid peroxide were studied.

The results are as follow;

1. Oxidative phosphorylation decreased while ATPase activity increased at 3 to 6 hours after irradiation, and recovered to the normal level at 24 hours.
2. Protein contents of mitochondria were decreased temporary after the whole body X-irradiation.
3. Lag period until the formation of lipid peroxide from the addition of ferrous ion, was remarkably accelerated with whole body X-irradiation.
4. In the process of the swelling of mitochondria induced by ferrous ion, at first peroxide was formed in the reaction medium, and DNP-stimulated ATPase activity decreased, and then ferrous ion-induced swelling and Mg[#]-stimulated ATPase activity appeared. Endogeneous ATPase activity occurred at the end of the swelling.

緒 言

放射線により細胞内脱水素酵素活性が、変動すると考えられる。また、細胞内のエネルギー生産に関与するミトコンドリアへの影響については、Hallら¹⁾、Kawasaki⁵⁾、桜井、川崎¹²⁾、Utsmis¹⁶⁾、Yost¹⁸⁾によつて、放射線の全身一時照射により、酸化的磷酸化能が低下し、uncoupling することが報告されている。

一方、我々は、還元グルタチオンに放射線防護作用があり、肝ミトコンドリアのATPase活性の増加を抑制する効果があること⁸⁾、並びに、ビタ

ミンB群に、放射線障害からの修復効果があること⁷⁾を報告した。

また、著者⁵⁾¹²⁾は、放射線により、ラット肝ミトコンドリアの lipid peroxidation が促進されることを観察し、E.D. Wills and J. Rotblat¹⁷⁾、Ohara¹¹⁾は、不飽和脂肪酸が、放射線により peroxide を、あるいは化学的構造の変化することを報告している。

我々は、マウス肝ミトコンドリアの酸化的磷酸化能、ATPase 活性、蛋白質量の変化および lipid peroxidation に対する放射線の影響、並びに、

ミトコンドリアの Fe^{++} イオンによる膨潤と、ATPase 活性、lipid peroxide 生成の関係を観察し、得られた結果を報告する。

材料及び方法

実験動物：dd 系雄マウス週令8～10週（20グラム前後）のものを使用した。

照射方法：照射した放射線の条件は、200kVp, 17.8 mA, フィルター 1.0 mmCu + 1.0 mmAl, F.S.D. 50cm, H.V.L. 1.55mmCu, 線量率, 30R/分, 照射線量は 400 rads である。線量測定には、Victoreen Radocon Type 線量計、Prob Model 612で補正した東芝製深部線量率計を使用した。

ミトコンドリアの分離、放射線照射後、3, 6, 12, 24, 48時間にそれぞれ断首し、ただちに肝臓をとりだし、冷蔗糖溶液中に入れ、Hogeboom の変法²⁾に従つて分離し、50 μM Tris を含む 0.25 M 蔗糖液に懸濁し、ストックミトコンドリアとした。また、対照群も同様の方法にて分離した。

Fe^{++} イオンによるミトコンドリアの膨潤および過酸化脂質の測定：ミトコンドリアの Fe^{++} イオンにより生成する過酸化脂質の測定には thiobarbiturate (TBA) 反応および酸素消費量の測定¹¹⁾で行つた。TBA 反応は、0.15 M KCl-0.02 M Tris-HCl buffer (pH 7.4) 中で Fe^{++} (40 μM) とストックミトコンドリアを反応させ、反応液を各時間取りだし、2% Na-thiobarbiturate (0.25 ml), 5 N HCl (0.125 ml), 40% Trichloroacetic acid (TCA) (0.25 ml) と混じ、100°Cで10分間煮沸し、それにエタノールを加えて遠心し、上清の吸光度 (535 mμ) を、島津製分光光度計にて測定した。

ATPase 活性の測定：反応液は、0.1M Sucrose, 20 mM KCl, 5 mM Tris, 1 mM EDTA, 3 mM ATP (adenosinetriphosphate) で、それに、 10^{-3} M MgCl₂ (Mg^{++} -stimulated ATPase) あるいは、 10^{-4} M 2,4-dinitrophenol (DNP-stimulated ATPase) あるいは、なにも加えないもの (None-stimulated ATPase) に分けて測定した。反応液量は 2.0 ml とし、反応時間 15 分、温度 25°C で、反応停止には冷 8% TCA である。

酸化的磷酸化能：前述¹²⁾の回転白金電極にて酸

素の消費量を測定した。反応液は 0.05 M Sucrose, 20 mM KCl, 5 mM K-phosphate, 0.1 mM EDTA である。反応は 2.5 ml の反応溶液にストックミトコンドリアを加え、次に基質として、コハク酸 (10 mM) を加え、次いで、100 mμ molse atom/ml の ADP を加え、ADP が ATP に磷酸化されるに要する酸素量から計算した。

ミトコンドリアの膨潤：ミトコンドリアの膨潤は、0.15 M KCl-0.02 M Tris-HCl buffer (pH 7.4) にストックミトコンドリアおよび、40 μM FeSO₄ (NH₄)₂ SO₄•6H₂O を加え、島津分光光度計にて、520 mμ の吸光度を測定した。

結果及び考察

酸化的磷酸化能：ミトコンドリアの酸化的磷酸化能を ADP/0 比であらわすと、酸化的磷酸化能は、図 1 で見るよう、放射線 400 rads 照射後 3～6 時間に約 70%，すなわち 1.37～1.40 に低下をきたすが、48 時間後には回復する。これは前報のラット肝ミトコンドリアの場合と同様に、マウス肝ミトコンドリアにおいても、電子伝達系と磷酸化過程との間に uncoupling がおきたものと思われる。

ATPase 活性：放射線 400 rads 照射後、 Mg^{++} -stimulated ATPase 活性は増加する（図 1）。照射後 3 時間で、その増加がみられ、6 時間後にピークに達し、その後、徐々に回復する。

これまでの多くの報告では、反応液中に、 Mg^{++} イオンと DNP の両者を含む場合の報告であるが、我々のように、 Mg^{++} -stimulated ATPase の増加があることから、放射線で、肝ミトコンドリアの構造の変化が暗示される。

ミトコンドリアの蛋白質量：ミトコンドリアの蛋白質量の経時的変動を図 1 に示す。放射線照射により、一時的な減少を示し、その後、回復する。このことは、前報と考えあわすと放射線により、ミトコンドリアの細胞内膨潤が起り、その結果、蛋白質量の減少があるものと考えられる。これは、Hall¹³⁾ らのミトコンドリア蛋白質量の減少する報告と一致する。

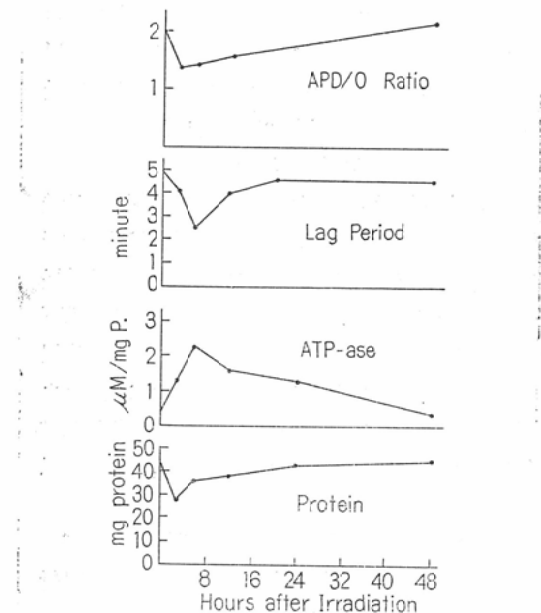
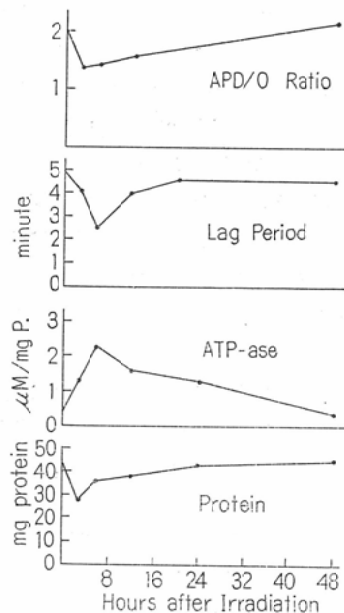
ミトコンドリアの Fe^{++} イオンによる膨潤、分離ミトコンドリアは、Tris-HCl-buffer 中で、 Fe^{++}

Fig. 1. ADP/O ratio, adenosine triphosphatase activity, protein content and lag period of mouse liver mitochondria at various intervals after whole body X-irradiation.

* ADP/O ratio was calculated with the oxygen conconsumption.

** Lag period was the time the formation of lipid peroxide from the addition of ferrous ion.

*** Adenosine triphosphatase activity was showed with the Pi release in the condition of the presence of Mg^{++} -stimulant.

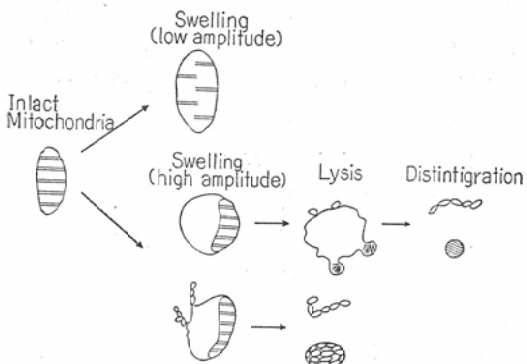


イオンによつて膨潤分解をきたす。この膨潤の直前に lipid peroxide を生成する。lipid peroxide の生成は intact のミトコンドリアでは、 $40\mu M$ の Fe^{++} イオンの添加により、約 5 分間の lag period がある。放射線の全身照射により、その lag period が短くなり、促進される(図 1)。しかしながら、この lag-period は Fe^{++} イオンの濃度によつて、影響されるが⁶⁾、肝ミトコンドリアの in vitro 照射では¹³⁾、20,000R でも、その変化はみられない。

これらのことから、放射線により、マウス肝ミトコンドリアは、エネルギー生産系の uncoupling を起し、構造的には膨潤し、ミトコンドリアの正常な状態から変化し、構造の変化により、 Mg^{++} -stimulated ATPase 活性の増加および過酸

化脂質形成の促進がみられるものと推察される。すなわち図 2 にみられるような、膨潤、分解の過程があることも考えられる。また、ミトコンドリアの uncoupling により、細胞内エネルギー生産系の変化および高エネルギー化合物の減少があるのではないかと思われる。

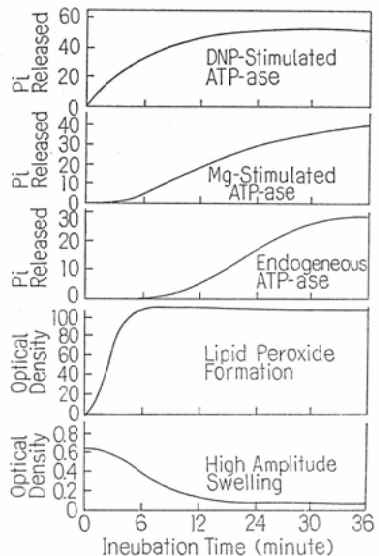
Fig. 2. Scheme of the swelling of mitochondria.



ミトコンドリアの Fe^{++} イオンによる過酸化脂質の生成および ATPase 活性の変化：ミトコンドリアは、Tris-HCl-KCl buffer 中で、 Fe^{++} の添加により、lipid peroxidation を行う。この lipid peroxidation とミトコンドリアの ATPase 活性の関係を観察した(図 3)。 Fe^{++} イオンを添加すると、DNP-stimulated ATPase 活性がみられ、だんだんとその活性が落ちてくる。その活性がみられなくなる直前に、lipid peroxide の形成があり、その形成が終ると、 Mg^{++} -stimulated ATPase 活性および膨潤が始まる。膨潤が終ると、non-stimulant ATPase 活性(endogenous ATPase)があらわれる。 Mg^{++} -stimulated ATPase および、non-stimulant ATPase 活性がほとんど同時に終る。この時には、Hunter³⁾らの報告のように膨潤一分解をきたし、ミトコンドリアが分子状態になつたものと推察される。

一般に、アデノシンスクレオチドは、細胞内代謝機構で重要な化合物で、アロステック作用などの、いろいろの役目をはたしている。ミトコンドリアの障害から、ATP 合成能の低下をもたらし、細胞内代謝の異常が起ることが暗示される。我々が、前報⁷⁾で報告したように、ビタミン B 群

Fig. 3. ATPase activity and lipid peroxide formation during ferrous ion-induced swelling (High-amplitude swelling). Basic medium were contained 2×10^{-3} M ATP and 40 uM ferrous ion in 0.15 M KCl-0.02 M Tris-buffer. DNP-stimulated ATPase; 10^{-4} M 2, 4-dinitrophenol in medium Mg^{++} -stimulated ATPase; 10^{-3} M $MgCl_2$ in medium Endogenous ATPase; absence of stimulant in medium.



に、放射線障害からの修復効果が、またATPに放射線防護効果^{7,9)}が認められることからも暗示される。また、細胞内に、SH基を含む酵素はhexokinase, G-6-P dehydrogenase, succinate dehydrogenase等、脂肪酸代謝系、アミノ酸代謝系、解糖系に多量存在するが、SH基を含むグルタチオンによつても、放射線防護効果の認められる⁸⁾ことからも、放射線による細胞内エネルギー生産系の異常¹⁰⁾が、細胞をより病的な状態にもたらすものではないかと考ええられる。

結語

放射線全身一時照射(400rad)を行い、マウス肝ミトコンドリアの酸化的磷酸化能、過酸化脂質の生成、ATPase活性、蛋白質量の変化を経時的に観察した。また、ミトコンドリアの膨潤、過酸化脂質形成時のATPase活性を測定した。

1. 放射線照射後3, 6時間に、酸化的磷酸化能は低下し、ATPase活性は増加するが、その後

回復に向う。

2. ミトコンドリアの蛋白質量は、照射後、一時減少する。

3. 放射線照射により、過酸化脂質の形成が始まるまでのlag periodは、著しく促進される。

4. Fe^{++} イオンによつて惹起されるミトコンドリアの膨潤の過程には、はじめに、過酸化脂質形成があり、次いで、DNP-stimulated ATPase活性が低下し、後、膨潤および Mg^{++} -stimulated ATPase活性がみられる。膨潤の終るころ、non-stimulant ATPaseがあらわれる。

以上のことから若干の考察を加えた。

謝辞：本研究は文部省科学研究費（入江班研究）の援助を受けた。感謝の意を表する。

文 献

- 1) Hall, J.C., Goldstein, A.L. and Sonnenblick, B.D.: Recovery of oxidative phosphorylation in rat liver mitochondria after whole-body irradiation, *J. Biol. Chem.* 238(1963) 1137.
- 2) Hogeboom, G.H.: Method in Enzymology, Vol. I, p. 16. Academic. 1955.
- 3) Hunter, F.E. et al.: Studies on the mechanism of swelling, lysis and disintegration of isolated liver mitochondria exposed to mixtures of oxidized and reduced glutathione., *J. Biol. Chem.* 239 (1964) 614.
- 4) Inaba, K.: The effect of X-ray on the energy metabolism of mouse Ehrlich ascites tumor cells., *Nippon Acta Radiologica* 22 (1963) 1198.
- 5) Kawasaki, S.: Effect of whole body X-irradiation on the swelling of rat liver mitochondria., *J. Rad. Res.* 6 (1965), 11.
- 6) Kawasaki, S. and Sakurai K.: Studies on swelling and formation of lipid peroxide induced by ferrous ion of isolated liver mitochondria. I. Relation among lipid peroxidation, swelling and ATPase in isolated mitochondria., *Bull. Yamaguchi Med. School* 14 (1967), 323.
- 7) 川崎祥二, 桜井孝: 放射線障害に対する各種物質の修復効果, *日医放学会誌*, 28巻 (1969). 1375.
- 8) 川崎祥二, 桜井孝: グルタチオンの放射線防護効果, 印刷中。
- 9) 永井純: ニックス線とアデノシン三磷酸(第3編) *日医放学会誌*, 26巻 (1966), 1145頁。
- 10) 中沢透: ミトコンドリアに対する放射線の作用. 放射線生物学研究. 2巻 (1967) 2頁。
- 11) Ohora, S.: The relation between the chemical structure and biochemical properties of

- unsaturated fatty acid irradiated with the X-ray., Nippon Acta Radiologica 23(1963), 941.
- 12) 桜井孝, 川崎祥二: マウス肝ミトコンドリアの構造と機能に及ぼす放射線の影響. 山口医大蛋研年報, 2巻 (1967), 42頁.
- 13) 桜井孝, 川崎祥二: マウス肝ミトコンドリアの酸化的磷酸化能, ATPase活性. 膨潤及び過酸化脂質形成への放射線の in vitro 照射の影響, 山口医学, 16巻 (1968), 1頁
- 14) Saslaw, L.D. and Waravdekar, V.S.: Behavior of unsaturated fatty acid in the thiobarbituric acid test after radiolysis., Rad. Res. 24 (1965), 374.
- 15) Thomas, L.B. and Yost, H.T.: The mechanism of uncoupling of oxidative phosphorylation in rat spleen and liver mitochondria after whole body irradiation., Rad. Res. 12 (1960) 613.
- 16) Utsumi, K. et al.: Effect of X-ray irradiation on lipid peroxidation and swelling of mitochondria induced by ferrous ion., Nippon Acta Radiologica 26 (1966), 345.
- 17) Wills, E.D. and Rotblat, J.: The formation of peroxide in tissue lipid and unsaturated fatty acids by irradiation., Int. J. Rad. Biol. 8 (1964), 551.
- 18) Yost, M.T., Robson, H.H. and Yost, H.T.: Uncoupling of oxidative phosphorylation in rat liver and spleen mitochondria by exposure to total-body irradiation., Rad. Res. 32 (1967), 187.